

Czarne dziury i antygravitacja

Zbigniew Osiak

E-mail: zbigniew.osiak@gmail.com

<http://orcid.org/0000-0002-5007-306X>

http://vixra.org/author/zbigniew_osiak

Streszczenie

W ramach ogólnej teorii względności przedstawiono nowy model czarnej dziury. Opis pola grawitacyjnego pod horyzontem zdarzeń stał się możliwy, gdy pojawiły się modyfikacje znanych wcześniej koncepcji. Czarna dziura jest jednorodną kulą o promieniu mniejszym od promienia Schwarzschilda, ale nie mniejszym od połowy promienia Schwarzschilda. Równania opisujące przyspieszenie grawitacyjne wewnątrz czarnej dziury korespondują z grawitacyjnym prawem Gaussa. Przyspieszenie grawitacyjne na zewnątrz czarnej dziury jest skierowane od jej centrum. W odległościach od centrum większych od promienia Schwarzschilda przyspieszenie grawitacyjne jest skierowane do centrum.

Słowa kluczowe: ogólna teoria względności, czarna dziura, promień Schwarzschilda, antygravitacja

01. Wprowadzenie

Opis pola grawitacyjnego pod horyzontem zdarzeń stał się możliwy, gdy pojawiły się modyfikacje znanych wcześniej koncepcji.

1. Iloczyn skalarny [3]

Aby w fizycznej czasoprzestrzeni lokalne wektory bazowe miały rzeczywiste wartości, należy przyjąć nową relację między tymi wektorami i składowymi tensora metrycznego.

$$\mathbf{e}_\mu \cdot \mathbf{e}_\nu = -(\text{sgn} ds^2) g_{\mu\nu} \geq 0, \quad (ds)^2 \neq 0, \quad (\mu, \nu = 1, 2, 3, 4).$$

Pociąga to za sobą konieczność zmiany definicji iloczynu skalarnego i związanych z nim pojęć. Zmiany te, wymuszone przez fizykę, spowodują jedynie drobne komplikacje niektórych wzorów.

W przypadku zagadnień, w których

$$(ds)^2 < 0 \quad \text{oraz} \quad g_{\mu\nu} \geq 0,$$

powyższe modyfikacje nie prowadzą do żadnych zmian, ponieważ mamy wtedy

$$\mathbf{e}_\mu \cdot \mathbf{e}_\nu = g_{\mu\nu} \geq 0.$$

Iloczynem skalarnym wektorów $\mathbf{A} = A^\mu \mathbf{e}_\mu$ i $\mathbf{B} = A^\nu \mathbf{e}_\nu$ nazwiemy wyrażenie

$$\mathbf{A} \cdot \mathbf{B} = A^\mu B^\nu \mathbf{e}_\mu \cdot \mathbf{e}_\nu,$$

uwzględniając, że

$$\mathbf{e}_\mu \cdot \mathbf{e}_\nu = -(\text{sgn } ds^2) g_{\mu\nu} \geq 0, \quad (ds)^2 \neq 0, \quad (\mu, \nu = 1, 2, 3, 4),$$

dostajemy

$$\mathbf{A} \cdot \mathbf{B} = -(\text{sgn } ds^2) g_{\mu\nu} A^\mu B^\nu.$$

2. Czterowymiarowe równania ruchu cząstki próbnej [3]

Składowe czteroprzyspieszenia cząstki próbnej o masie (m) w danym punkcie zakrzywionej czasoprzestrzeni Riemanna opisywane są równaniami

$$\frac{\tilde{F}^\alpha}{m} = \tilde{a}_{\text{force}}^\alpha \stackrel{\text{df}}{=} (\text{sgn } ds^2) c^2 \left(\frac{d^2 x^\alpha}{ds^2} + \tilde{k} \Gamma_{\mu\nu}^\alpha \frac{dx^\mu}{ds} \frac{dx^\nu}{ds} \right), \quad ds^2 = g_{\mu\nu} dx^\mu dx^\nu \neq 0, \quad (\text{sgn } ds^2) g_{\mu\nu} \leq 0,$$

gdzie

(\tilde{F}^α) – składowe czterowektora siły wypadkowej, z pominięciem sił „gravitacyjnych” oraz „bezwładnościowych”,

$(g_{\mu\nu})$ – składowe tensora metrycznego zakrzywionej czasoprzestrzeni (będące rozwiązaniami równań pola),

$$\tilde{k} = \begin{cases} +1 & \text{na zewnątrz źródłowych mas} \\ -1 & \text{wewnątrz źródłowych mas} \end{cases}.$$

3. Dwu-potencjalność pola grawitacyjnego [3, 5, 8]

Z fizyki klasycznej wiadomo, że bezwzględna wartość natężenia pola grawitacyjnego w centrum jednorodnej kuli o stałej gęstości jest równa zero, wraz ze wzrostem odległości od środka – rośnie liniowo, osiągając maksymalną wartość na powierzchni kuli, przy dalszym wzroście odległości – maleje odwrotnie kwadratowo.

Aby w ramach ogólnej teorii względności Einsteina uzyskać analogiczny wynik, należy zauważyć, że stacjonarne pole grawitacyjne jest polem dwu-potencjalnym.

$$\begin{array}{l} \frac{\partial \mathbf{E}}{\partial t} = 0, \quad \text{rot} \mathbf{E} = 0 \\ \text{rot grad} \varphi = 0 \end{array} \quad \Rightarrow \quad \begin{array}{l} E^{\text{in}} = \text{grad} \varphi^{\text{in}} = -\tilde{k} \text{grad} \varphi^{\text{in}}, \quad 0 \leq r < R, \quad \lim_{r \rightarrow 0} \varphi^{\text{in}} = 0 \\ E^{\text{ex}} = -\text{grad} \varphi^{\text{ex}} = -\tilde{k} \text{grad} \varphi^{\text{ex}}, \quad r \geq R, \quad \lim_{r \rightarrow \infty} \varphi^{\text{ex}} = 0 \end{array}$$

$$E_r^{\text{in}} = -\frac{4}{3} \pi G \rho r, \quad \varphi^{\text{in}} = -\frac{2}{3} \pi G \rho r^2, \quad E_r^{\text{ex}} = -\frac{GM}{r^2}, \quad \varphi^{\text{ex}} = -\frac{GM}{r}.$$

Na powierzchni kuli mamy

$$\varphi^{\text{in}} - \varphi^{\text{ex}} = \frac{GM}{2R}, \quad \mathbf{E}^{\text{in}} - \mathbf{E}^{\text{ex}} = 0,$$

gdzie

$(\mathbf{E}^{\text{in}}), (\mathbf{E}^{\text{ex}})$ – natężenia pola grawitacyjnego odpowiednio wewnątrz i na zewnątrz kuli,
 $(\varphi^{\text{in}}), (\varphi^{\text{ex}})$ – potencjały pola grawitacyjnego odpowiednio wewnątrz i na zewnątrz kuli,
 (M) – masa kuli, (R) – promień kuli, (ρ) – gęstość kuli,

$$\tilde{k} = \begin{cases} +1 & \text{na zewnątrz źródlowych mas} \\ -1 & \text{wewnątrz źródlowych mas} \end{cases}.$$

4. Energie relatywistyczne: spoczynkowa, kinetyczna i całkowita [3, 9, 11, 12]

Energia spoczynkowa (E_0), relatywistyczna energia kinetyczna (E_k) oraz relatywistyczna energia całkowita (E) dane są odpowiednio przez:

$$E_0 = \frac{1}{2} mc^2,$$

$$E_k = \frac{1}{2} m\gamma^2 v^2,$$

$$E = \frac{1}{2} m\gamma^2 c^2,$$

gdzie

$$\gamma = (1 - v^2 c^{-2})^{-\frac{1}{2}},$$

(γ) – czynnik Lorentza,

(m) – masa (spoczynkowa),

(v) – wartość trójwektora prędkości,

(c) – maksymalna wartość prędkości rozchodzenia się sygnałów.

5. Tensor energii-pędu (pędu-energii) [3, 11]

Tensor energii-pędu (pędu-energii) ma postać

$$T_{\alpha\alpha} = -k\rho c^2 g_{\alpha\alpha}, \quad T_{\mu\nu} = 0, \quad (\alpha, \mu, \nu = 1, 2, 3, 4; \quad \mu \neq \nu), \quad 0,5 \leq k < 1$$

6. Równania pola grawitacyjnego [1, 3, 4, 10, 11, 13]

Równania pola grawitacyjnego

$$R_{\alpha\beta} = -\kappa \left(T_{\alpha\beta} - \frac{1}{2} g_{\alpha\beta} T \right), \quad \kappa = \frac{8\pi G}{c^4} = 2,073 \cdot 10^{-43} \frac{\text{s}^2}{\text{kg} \cdot \text{m}},$$

zapiszemy w innej postaci.

Uwzględniając, że

$$g_{11} = \frac{1}{g_{44}}, \quad g_{22} = r^2, \quad g_{33} = r^2 \sin^2 \theta, \quad g^{\alpha\alpha} = \frac{1}{g_{\alpha\alpha}},$$

$$\boxed{T_{\alpha\alpha} = -k\rho c^2 g_{\alpha\alpha}}, \quad \boxed{T = \sum_{\alpha=1}^4 g^{\alpha\alpha} T_{\alpha\alpha} = -4\rho c^2}, \quad \boxed{T_{aa} - \frac{1}{2} g_{aa} T = k\rho c^2 g_{aa}},$$

$$R_{12} = R_{21} = R_{13} = R_{31} = R_{14} = R_{41} = R_{23} = R_{32} = R_{24} = R_{42} = R_{34} = R_{43} = 0,$$

$$R_{11} = \frac{1}{g_{44}} \left(\frac{1}{r} \frac{\partial g_{44}}{\partial r} + \frac{1}{2} \frac{\partial^2 g_{44}}{\partial r^2} \right),$$

$$R_{22} = -1 + g_{44} + r \frac{\partial g_{44}}{\partial r},$$

$$R_{33} = \sin^2 \theta \left(-1 + g_{44} + r \frac{\partial g_{44}}{\partial r} \right),$$

$$R_{44} = g_{44} \left(\frac{1}{r} \frac{\partial g_{44}}{\partial r} + \frac{1}{2} \frac{\partial^2 g_{44}}{\partial r^2} \right),$$

otrzymujemy

$$\boxed{R_{\alpha\alpha} = -k\rho c^2 g_{\alpha\alpha}, \quad R_{\mu\nu} = 0, \quad (\alpha, \mu, \nu = 1, 2, 3, 4; \quad \mu \neq \nu), \quad \kappa = \frac{8\pi G}{c^4}, \quad 0,5 \leq k < 1}$$

7. Zewnętrzne (próżniowe) rozwiązanie Schwarzschilda i antygravitacja [14]

Dokładne zewnętrzne (próżniowe) rozwiązanie równań pola grawitacyjnego podał w 1916 Carl Schwarzschild (1873-1916):

$$\boxed{g_{44} = \frac{1}{g_{11}} = 1 - \frac{r_s}{r}, \quad r \geq R},$$

gdzie

(M) – masa jednorodnej kuli o stałej gęstości,

(R) – promień kuli,

$$\boxed{r_s = \frac{2GM}{c^2}} \text{ – promień Schwarzschilda.}$$

W rozwiązaniu tym ukryta jest antygravitacja.

Jak łatwo zauważyć, dla $r > r_s$ znak różniczkowej formy kwadratowej czasoprzestrzeni

$$(ds)^2 = g_{11}(dr)^2 + g_{44}(dx^4)^2$$

jest ujemny, a dla $r < r_s$ znak ten jest dodatni.

8. Wartość prędkości światła w polu grawitacyjnym [3, 7, 11]

W przypadku, gdy źródłem pola jest masa jednorodnie rozmieszczona w obszarze kuli, metryka czasoprzestrzeni ma postać

$$(ds)^2 = g_{11}(dr)^2 + r^2(d\theta)^2 + r^2\sin^2\theta(d\varphi)^2 + g_{44}(dx^4)^2, \quad x^4 \equiv ict,$$

$$g_{11} = \frac{1}{g_{44}}, \quad g_{22} = r^2, \quad g_{33} = r^2 \sin^2 \theta, \quad g^{11} = \frac{1}{g_{11}}, \quad g^{22} = \frac{1}{g_{22}}, \quad g^{33} = \frac{1}{g_{33}}, \quad g^{44} = \frac{1}{g_{44}}.$$

Metryka ta, dla

$$\theta = \text{const}, \quad d\theta = 0, \quad \varphi = \text{const}, \quad d\varphi = 0,$$

redukuje się do

$$(ds)^2 = g_{11}(dr)^2 - g_{44}c^2(dt)^2.$$

Wartość prędkości (v_{light}) rozchodzenia się światła w wirtualnym tunelu próżniowym wyznaczymy z warunku

$$(ds)^2 = 0$$

lub równoważnego

$$v_{\text{light}}^2 = \left(\frac{dr}{dt}\right)^2 = c^2(g_{44})^2 \leq c^2.$$

9. Energia fotonu w polu grawitacyjnym [3]

Zakładamy, że energia fotonu zależy od punktu czasoprzestrzeni, w którym nastąpiła jego emisja i pozostaje stała podczas wędrówki fotonu. Oznacza to, że fotony mają „pamięć”, lub bardziej uczenie – energia fotonu jest niezmiennikiem. Przy czym, w silniejszym polu grawitacyjnym dane źródło powinno wysyłać fotony o mniejszej energii niż to samo źródło znajdujące się w słabszym polu.

Energia fotonu, emitowanego w danym punkcie czasoprzestrzeni, dana jest wzorem:

$$E = \sqrt{|g_{44}|} E_{\text{max}},$$

gdzie

(E_{max}) – energia fotonu emitowanego w czasoprzestrzeni niezdeformowanej,

(g_{44}) – składowa czasowo-czasowa tensora metrycznego w punkcie emisji fotonu.

10. Poczzerwienie [3, 6, 11]

Poczzerwienie (z^*) światła docierającego do Ziemi (między innymi) z odległych galaktyk zostało określone poniżej.

$$z^* \equiv \frac{E_{\text{lab}}}{E_{\text{out}}} - 1,$$

gdzie

$$E_{\text{lab}} = \sqrt{g_{44}^{\text{lab}}} E_{\text{max}}, \quad E_{\text{out}} = \sqrt{g_{44}^{\text{out}}} E_{\text{max}},$$

(E_{lab}) – energia fotonu emitowanego ze źródła znajdującego się w laboratorium,

(E_{out}) – energia fotonu emitowanego ze źródła znajdującego się poza laboratorium,

(E_{max}) – energia fotonu emitowanego w nieobecności pola grawitacyjnego,

(g_{44}^{lab}) – składowa tensora metrycznego w laboratorium w miejscu detekcji fotonu,

(g_{44}^{out}) – składowa tensora metrycznego poza laboratorium w miejscu emisji fotonu.

02. Czarna dziura

Czarna dziura jest jednorodną kulą o masie (M) i promieniu (R) mniejszym od promienia Schwarzschilda (r_s), ale niemniejszym od połowy promienia Schwarzschilda.

$$0,5r_s \leq R < r_s = \frac{2GM}{c^2}, \quad R = kr_s, \quad 0,5 \leq k < 1.$$

(c) – maksymalna wartość prędkości rozchodzenia się sygnałów, (G) – stała grawitacyjna.

03. Gęstość energii w obszarze czarnej dziury

Według Ogólnej Teorii Względności metryka czasoprzestrzeni jest determinowana przez przestrzenny rozkład gęstości wszelakich energii (w tym energii równoważnej masie) [10].

Energia spoczynkowa (E_0) kuli o masie (M), objętości (V), gęstości (ρ) i promieniu (R) dana jest przez [3, 9, 11, 12]:

$$E_0 = \frac{1}{2} \rho V c^2.$$

Dla jednorodnej kuli gęstość energii spoczynkowej (ϵ_0) wynosi:

$$\epsilon_0 = 0,5\rho c^2.$$

Ogólnie przyjmujemy dla gęstość energii (ϵ), że

$$0,5\rho c^2 \leq \epsilon < \rho c^2, \quad \epsilon = k\rho c^2, \quad 0,5 \leq k < 1.$$

04. Metryka czasoprzestrzeni pod horyzontem i nad horyzontem zdarzeń

Metryka czasoprzestrzeni pod horyzontem i nad horyzontem zdarzeń, gdy źródłem pola grawitacyjnego jest czarna dziura, może być opisana równaniami [11, 13]:

$$R_{\alpha\alpha} = -\kappa k \rho c^2 g_{\alpha\alpha}, \quad R_{\mu\nu} = 0, \quad (\alpha, \mu, \nu = 1, 2, 3, 4; \quad \mu \neq \nu), \quad \kappa = \frac{8\pi G}{c^4}, \quad 0,5 \leq k < 1$$

UWAGA

Wszystkie składowe mieszane tensora Ricciego są tożsamościowo równe zeru. Zbiór pozostałych równań można zredukować tylko do dwóch niezależnych.

$$\begin{cases} R_{11} = -\kappa \rho c^2 g_{11} \\ R_{22} = -\kappa \rho c^2 g_{22} \end{cases} \Rightarrow \begin{cases} \frac{\partial g_{44}}{\partial r} + \frac{r}{2} \frac{\partial^2 g_{44}}{\partial r^2} = -\kappa \rho c^2 r \\ -1 + g_{44} + r \frac{\partial g_{44}}{\partial r} = -\kappa \rho c^2 r^2 \end{cases}$$

Czasoprzestrzeń opisywana powyższymi równaniami, w których każda składowa tensora Ricciego jest proporcjonalna do odpowiedniej składowej tensora metrycznego, jest przestrzenią Einsteina [13].

Równania te są spełnione, gdy

$$0 \leq r < R, \quad \rho = \text{const} > 0, \quad g_{44} = 1 - \frac{\kappa r_s}{R} \frac{r^2}{R^2}, \quad 0,5 \leq k < 1,$$

$$r \geq R, \quad \rho = 0, \quad g_{44} = 1 - \frac{r_s}{r}, \quad r \neq r_s.$$

05. Zewnętrzna metryka Schwarzschilda

Metryka czasoprzestrzeni na zewnątrz źródłowej masy ($r \geq R$, $\rho = 0$) opisywana jest zewnętrzną metryką Schwarzschilda [14]:

$$(ds)^2 = \left(1 - \frac{r_s}{r}\right)^{-1} (dr)^2 + r^2 (d\theta)^2 + r^2 \sin^2 \theta (d\varphi)^2 + \left(1 - \frac{r_s}{r}\right) (dx^4)^2, \quad x^4 = ict, \quad r \neq r_s = \frac{2GM}{c^2}.$$

06. Wartość prędkości rozchodzenia się światła a zewnętrzna metryka Schwarzschilda

Zewnętrzna metryka Schwarzschilda, dla

$$\theta = \text{const}, \quad d\theta = 0, \quad \varphi = \text{const}, \quad d\varphi = 0,$$

redukuje się do postaci [3, 7, 11]

$$(ds)^2 = \left(1 - \frac{r_s}{r}\right)^{-1} (dr)^2 - \left(1 - \frac{r_s}{r}\right) c^2 (dt)^2.$$

Wartość prędkości (v_{light}) rozchodzenia się światła wyznaczmy z warunku

$$(ds)^2 = 0$$

lub równoważnego

$$0 < v_{\text{light}}^2 = \left(\frac{dr}{dt}\right)^2 = c^2 \left(1 - \frac{r_s}{r}\right)^2 \leq c^2.$$

$$\lim_{r \rightarrow 0,5r_s} v_{\text{light}} = c, \quad \lim_{r \rightarrow r_s} v_{\text{light}} = 0, \quad \lim_{r \rightarrow \infty} v_{\text{light}} = c.$$

Zauważmy, że

$$\left[0 < \left(\frac{dr}{dt} \right)^2 \leq c^2 \right] \Leftrightarrow \left[r \geq \frac{1}{2} r_s, \quad r \neq r_s \right].$$

Oznacza to, że zewnętrzna metryka Schwarzschilda jest poprawna wtedy i tylko wtedy, gdy

$$r \geq \frac{1}{2} r_s, \quad r \neq r_s.$$

07. Przyspieszenie grawitacyjne swobodnego spadku na zewnątrz źródłowej masy

Radialną składową przyspieszenia grawitacyjnego swobodnie spadającej cząstki wyznaczmy z równania ruchu [3, 11]:

$$\tilde{a}^r = \tilde{a}^1 = -\tilde{k} (\text{sgn } ds^2) c^2 \left(\Gamma_{11}^1 \frac{dr}{ds} \cdot \frac{dr}{ds} + \Gamma_{44}^1 \frac{dx^4}{ds} \cdot \frac{dx^4}{ds} \right), \quad r \neq r_s, \quad (ds)^2 \neq 0.$$

Uwzględniając, że

$$g_{44} = 1 - \frac{r_s}{r}, \quad r_s = \frac{2GM}{c^2}, \quad \tilde{k} = +1,$$

$$\Gamma_{11}^1 = -\frac{1}{2g_{44}} \frac{\partial g_{44}}{\partial r} = -\left(1 - \frac{r_s}{r}\right)^{-1} \cdot \frac{GM}{c^2 r^2}, \quad \Gamma_{44}^1 = -\frac{1}{2} g_{44} \frac{\partial g_{44}}{\partial r} = -\left(1 - \frac{r_s}{r}\right) \cdot \frac{GM}{c^2 r^2},$$

$$1 = \left(1 - \frac{r_s}{r}\right)^{-1} \left(\frac{dr}{ds}\right)^2 + \left(1 - \frac{r_s}{r}\right) \left(\frac{dx^4}{ds}\right)^2,$$

otrzymujemy

$$\tilde{a}^r = \tilde{a}^1 = \tilde{k} (\text{sgn } ds^2) \frac{c^2}{2} \frac{\partial g_{44}}{\partial r} = (\text{sgn } ds^2) \frac{GM}{r^2}.$$

Fizyczna (prawdziwa) składowa przyspieszenia grawitacyjnego swobodnego spadku

$$\hat{a}^r \stackrel{\text{df}}{=} \sqrt{-\text{sgn } ds^2} g_{rr} \tilde{a}^r,$$

gdzie

$$g_{rr} = g_{11} = \left(1 - \frac{r_s}{r}\right)^{-1},$$

ostatecznie może być zapisana w postaci:

$$\hat{a}^r = \sqrt{-\left(\text{sgn } ds^2\right) g_{rr}} \left(\text{sgn } ds^2\right) \frac{GM}{r^2}.$$

08. Grawitacja i antygravitacja

Powyższe równanie posiada ciekawą interpretację fizyczną. Dla $r > r_s$ opisuje ono grawitację, a dla $\frac{1}{2}r_s \leq r < r_s$ – antygravitację [3, 11].

Grawitacja

$$r > r_s = \frac{2GM}{c^2}, \quad g_{rr} = \left(1 - \frac{r_s}{r}\right)^{-1} > 0, \quad (ds)^2 < 0, \quad \hat{a}^r = -\frac{GM}{r^2} \cdot \frac{1}{\sqrt{1 - \frac{r_s}{r}}}$$

Antygravitacja

$$\frac{1}{2}r_s \leq r < r_s = \frac{2GM}{c^2}, \quad g_{rr} = \left(1 - \frac{r_s}{r}\right)^{-1} < 0, \quad (ds)^2 > 0, \quad \hat{a}^r = +\frac{GM}{r^2} \cdot \frac{1}{\sqrt{\frac{r_s}{r} - 1}}$$

09. Główna hipoteza

Antygravitacja polega na tym, że swobodna cząstka próbna znajdująca się w zewnętrznym polu grawitacyjnym masy źródłowej uzyskuje w pewnym obszarze przyspieszenie skierowane od centrum tej masy [3, 11].

W obszarach, w których
 $g_{\mu\nu} \geq 0, \quad (ds)^2 < 0, \quad (\mu, \nu = 1,2,3,4),$
 występuje grawitacja.

W obszarach, w których
 $g_{\mu\nu} \leq 0, \quad (ds)^2 > 0, \quad (\mu, \nu = 1,2,3,4),$
 występuje antygravitacja.

10. Metryka czasoprzestrzeni wewnątrz źródłowej masy

Metryka czasoprzestrzeni wewnątrz źródłowej masy ($0 \leq r < R, \quad \rho = \text{const} > 0$) dana jest przez [3, 7, 11]:

$$(ds)^2 = g_{11}(dr)^2 + r^2(d\theta)^2 + r^2 \sin^2 \theta (d\phi)^2 + g_{44}(dx^4)^2,$$

gdzie

$$x^4 = ict, \quad g_{11} = \frac{1}{g_{44}}, \quad g_{44} = 1 - \frac{kr_s}{R} \frac{r^2}{R^2}, \quad 0,5 \leq k < 1, \quad r_s = \frac{2GM}{c^2}.$$

11. Wartość prędkości rozchodzenia się światła w wirtualnym tunelu próżniowym znajdującym się wewnątrz czarnej dziury

Metryka czasoprzestrzeni wewnątrz czarnej dziury, dla

$$\theta = \text{const}, \quad d\theta = 0, \quad \varphi = \text{const}, \quad d\varphi = 0, \quad R = kr_S, \quad 0,5 \leq k < 1,$$

redukuje się do postaci [3, 7, 11]:

$$(ds)^2 = g_{11}(dr)^2 - g_{44}c^2(dt)^2, \quad g_{11} = \frac{1}{g_{44}}, \quad g_{44} = 1 - \frac{r^2}{R^2}.$$

Wartość prędkości (v_{light}) rozchodzenia się światła w wirtualnym tunelu próżniowym wyznaczamy z warunku

$$(ds)^2 = 0$$

lub równoważnego

$$0 < v_{\text{light}}^2 = \left(\frac{dr}{dt}\right)^2 = c^2 \left(1 - \frac{r^2}{R^2}\right)^2 \leq c^2.$$

$$\lim_{r \rightarrow 0} v_{\text{light}} = c, \quad \lim_{r \rightarrow R} v_{\text{light}} = 0.$$

Zauważmy, że

$$R = kr_S, \quad 0,5 \leq k < 1, \quad 0 < v_{\text{light}}^2 \leq c^2.$$

Oznacza to, że metryka czasoprzestrzeni wewnątrz czarnej dziury jest poprawna wtedy i tylko wtedy, gdy

$$\frac{1}{2}r_S \leq R < r_S, \quad r < R.$$

12. Przyspieszenie grawitacyjne swobodnego spadku wewnątrz czarnej dziury z otoczką antygravitacyjną

Radialną składową przyspieszenia grawitacyjnego swobodnie cząstki w wirtualnym tunelu próżniowym, znajdującym się wewnątrz czarnej dziury z otoczką antygravitacyjną, wyznaczamy z równania ruchu [3, 11]

$$\tilde{a}^r = \tilde{a}^1 = -\tilde{k} (\text{sgn } ds^2) c^2 \left(\Gamma_{11}^1 \frac{dr}{ds} \cdot \frac{dr}{ds} + \Gamma_{44}^1 \frac{dx^4}{ds} \cdot \frac{dx^4}{ds} \right), \quad 0 \leq r < R, \quad (ds)^2 \neq 0.$$

Uwzględniając, że

$$\tilde{k} = -1, \quad \text{sgn } ds^2 = -1, \quad R = kr_S, \quad 0,5 \leq k < 1, \quad r_S = \frac{2GM}{c^2},$$

$$\Gamma_{11}^1 = -\frac{1}{2g_{44}} \frac{\partial g_{44}}{\partial r}, \quad \Gamma_{44}^1 = -\frac{1}{2} g_{44} \frac{\partial g_{44}}{\partial r}, \quad g_{44} = 1 - \frac{r^2}{R^2}, \quad 1 = g_{44}^{-1} \left(\frac{dr}{ds} \right)^2 + g_{44} \left(\frac{dx^4}{ds} \right)^2,$$

otrzymujemy

$$\tilde{a}^r = \tilde{k} (\text{sgn } ds^2) \frac{c^2}{2} \frac{\partial g_{44}}{\partial r} = -\tilde{k} (\text{sgn } ds^2) \frac{c^2}{R^2} r = -\frac{c^2}{R^2} r.$$

Fizyczna (prawdziwa) składowa przyspieszenia grawitacyjnego swobodnego spadku

$$\hat{a}^r \stackrel{\text{df}}{=} \sqrt{-\text{sgn } ds^2} g_{rr} \tilde{a}^r,$$

gdzie

$$g_{rr} = g_{11} = \left(1 - \frac{r^2}{R^2} \right)^{-1},$$

ostatecznie może być zapisana w postaci:

$$\hat{a}^r = -\tilde{k} (\text{sgn } ds^2) \sqrt{-\text{sgn } ds^2} g_{rr} \frac{c^2}{R^2} r = -\frac{c^2}{R^2} r \cdot \frac{1}{\sqrt{1 - \frac{r^2}{R^2}}}.$$

13. Graficzna analiza pełnego rozwiązania

Składowa czasowo-czasowa tensora metrycznego oraz fizyczna składowa radialna przyspieszenia grawitacyjnego swobodnego spadku w trzech różnych przedziałach odległości od środka czarnej dziury dane są poniższymi relacjami.

GRAWITACJA

$$0 \leq r < R = kr_s, \quad g_{44} = \left(1 - \frac{r^2}{R^2} \right) > 0, \quad \hat{a}^r = -\frac{c^2}{R^2} r \cdot \frac{1}{\sqrt{1 - \frac{r^2}{R^2}}}$$

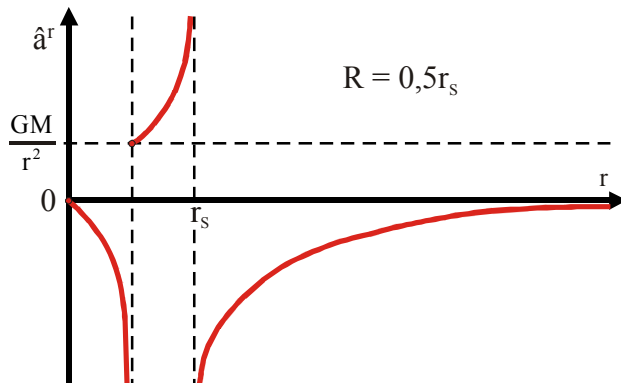
ANTYGRAWITACJA

$$kr_s = R \leq r < r_s, \quad g_{44} = \left(1 - \frac{r_s}{r} \right) < 0, \quad \hat{a}^r = +\frac{GM}{r^2} \cdot \frac{1}{\sqrt{\frac{r_s}{r} - 1}}$$

GRAWITACJA

$$r > r_s, \quad g_{44} = \left(1 - \frac{r_s}{r} \right) > 0, \quad \hat{a}^r = -\frac{GM}{r^2} \cdot \frac{1}{\sqrt{1 - \frac{r_s}{r}}}$$

Poniżej przedstawimy wykresy zależności fizycznej (prawdziwej) składowej radialnej (\hat{a}^r) przyspieszenia grawitacyjnego swobodnego spadku cząstki testowej od odległości (r) od centrum czarnej dziury z otoczką antygravitacyjną.



Z wykresów tych widać, że:

$0 \leq r < R = k \cdot r_s \Rightarrow$ grawitacja,

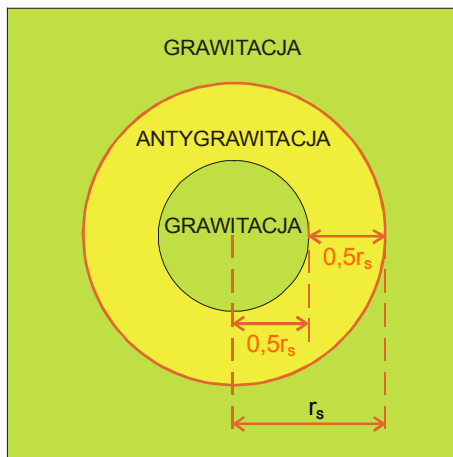
$r = R = k \cdot r_s \Rightarrow$ przejście od grawitacji do antygravitacji,

$k \cdot r_s = R < r < r_s \Rightarrow$ antygravitacja,

$r = r_s \Rightarrow$ przejście od antygravitacji do grawitacji,

$r > r_s \Rightarrow$ grawitacja.

Grubość otoczki antygravitacyjnej jest równa połowie promienia Schwarzschilda. Grawitacja i antygravitacja mają naturę warstwową.



14. Promień i gęstość czarnej dziury

Promień i gęstość czarnej dziury wyznaczymy, wykorzystując poniższe relacje

$$R = k r_s, \quad 0,5 \leq k < 1,$$

$$r_s = \frac{2GM}{c^2},$$

$$M = \rho \left(\frac{4}{3} \pi R^3 \right),$$

$$\kappa = \frac{8\pi G}{c^4}.$$

W wyniku otrzymujemy:

$$R^2 = \frac{3}{k} \cdot \frac{c^2}{8\pi G \rho},$$

$$R^2 = \frac{3}{k} \cdot \frac{1}{c^2 \kappa \rho},$$

$$R = \sqrt{\frac{3}{k}} \cdot \frac{1}{c \sqrt{\kappa \rho}},$$

$$\rho = \frac{3}{k} \cdot \frac{1}{8\pi G R^2},$$

$$\rho = \frac{3}{k} \cdot \frac{1}{c^2 \kappa R^2}.$$

15. Uwagi końcowe

Wykorzystanie tradycyjnej relacji dla gęstości energii spoczynkowej $\epsilon_0 = \rho c^2$ nie opisuje czarnej dziury, a tym bardziej zjawiska antygravitacji.

Proponowany przeze mnie model czarnej dziury (poza nazwą) ma niewiele wspólnego z powszechnie akceptowanymi modelami tego obiektu.

Punkty 9 i 10 ze wstępu zostały wykorzystane w [3] aby między innymi wyjaśnić w ramach czarnodziurowego modelu Wszechświata

A. nieliniowy gwałtowny wzrost poczerwienienia światła docierającego do Ziemi z bardzo odległych źródeł jakimi są galaktyki,

B. istnienie odległości od Ziemi, gdzie poczerwienienie zmienia znak z ujemnego na dodatni.

16. Propozycje

Proponuję, aby mieszany tensor krzywizny czwartego rzędu $R_{\beta\mu\nu}^{\alpha}$ nazywać tensorem krzywizny Grossmanna. Pojęcie tensora mieszanego jako pierwszy wprowadził Marcel Grossmann (1878-1936) przy okazji rozważań dotyczących krzywizny czasoprzestrzeni [2].

Poniżej przypomnimy znane twierdzenia o płaskości i zakrzywieniu przestrzeni [10].

Przestrzeń jest płaska wtedy i tylko wtedy, gdy wszystkie składowe tensora $R_{\beta\mu\nu}^{\alpha}$ są równe zero.

Przestrzeń jest zakrzywiona wtedy i tylko wtedy, gdy co najmniej jedna ze składowych tensora $R_{\beta\mu\nu}^{\alpha}$ jest różna od zera.

Cytowane prace

- [1] A. Einstein: *Die Feldgleichungen der Gravitation*. Sitzungsberichte der Königlich Preussischen Akademie der Wissenschaften **2**, 48 (1915) 844-847.
- [2] A. Einstein, M. Grossmann: *Entwurf einer verallgemeinerten Relativitätstheorie und einer Theorie der Gravitation*. Zeitschrift für Mathematik und Physik **62**, 3 (1913) 225-261.
- [3] Z. Osiak: *Antygravitacja*. viXra:1804.0495 (2018), <http://viXra.org/abs/1804.0495>
- [4] Z. Osiak: *Czarnodziurowy Wszechświat a przestrzeń Einsteina*. viXra:1807.0376 (2018), <http://viXra.org/abs/1807.0376>
- [5] Z. Osiak: *Czarnodziurowy Wszechświat a grawitacyjne prawo Gaussa*. viXra:1806.0268 (2018), <http://viXra.org/abs/1806.0268>
- [6] Z. Osiak: *Czarnodziurowy Wszechświat a prawo Hubble'a*. viXra:1805.0200 (2018), <http://viXra.org/abs/1805.0200>
- [7] Z. Osiak: *Czarnodziurowy Wszechświat a wartość prędkości światła*. viXra:1805.0289 (2018), <http://viXra.org/abs/1805.0289>
- [8] Z. Osiak: *Czarnodziurowy Wszechświat a dwu-potencjalność pola grawitacyjnego*. viXra:1807.0204 (2018), <http://viXra.org/abs/1807.0204>
- [9] Z. Osiak: *Energy in Special Relativity*. Theoretical Physics **4**, 1 (March 2019) 22-25. <https://dx.doi.org/10.22606/tp.2019.41002>
[oraz:] viXra: 1512.0449 (2015) <http://viXra.org/abs/1512.0449>
- [10] Z. Osiak: *Ogólna Teoria Względności*. Self Publishing (2012), ISBN: 978-83-272-3515-2, <http://vixra.org/abs/1804.0178>
- [11] Z. Osiak: *Wirujący Wszechświat Czarnodziurowy i Antygravitacja*. vixra:2006.0091 (2020), <https://vixra.org/abs/2006.0091>
- [12] Z. Osiak: *Szczególna Teoria Względności*. Self Publishing (2012), ISBN: 978-83-272-3464-3, <http://vixra.org/abs/1804.0179>
- [13] A. З. Петров: *Пространства Эйнштейна*. Физматгиз, Москва 1961.
[Istnieje angielski przekład:]
A. Z. Petrov: *Einstein Spaces*. Pergamon Press, Oxford 1969.
- [14] K. Schwarzschild: *Über das Gravitationsfeld eines Massenpunktes nach der Einsteinschen Theorie*. Sitzungsberichte der Königlich Preussischen Akademie der Wissenschaften **1**, 7 (1916) 189-196.
[Istnieje angielski przekład:]
<https://arxiv.org/abs/physics/9905030>